

Таким образом, настоящая работа на примере рубина и лейкосапфира демонстрирует общий подход к практической разработке методик прогнозирования с помощью ЭВМ оптических свойств прозрачных материалов в условиях воздействия космического ионизирующего излучения.

#### СПИСОК ЛИТЕРАТУРЫ

[1] Stickly S. M. et al. J. Appl. Phys., 1969, 40, N 4, p. 1792. [2] Бессонова Т. С. и др. Опт. и спектр., 1974, 37, № 4, с. 701. [3] Бессонова Т. С. и др. Журн. прикл. спектр., 1977, 27, № 2, с. 238. [4] Акишин А. И., Бессонова Т. С., Собко А. И. В кн.: Тез. докл. Всесоюз. конф. «Радиационные эффекты в твердых телах». Ашхабад, 1977, с. 9. [5] Бессонова Т. С., Собко А. И. Вестн. Моск. ун-та. Сер. Физ. Астрон., 1980, 21, № 1, с. 63. [6] Бессонова Т. С., Собко А. И. Вестн. Моск. ун-та. Сер. Физ. Астрон., 1979, 20, № 6, с. 62. [7] De Goeг A. M., Dreyfus V. Phys. Stat. Sol., 1967, 22, N 1, p. 77. [8] Хаффер Д. Ядерное излучение и защита в космосе. М.: Атомиздат, 1971.

Поступила в редакцию  
18.01.82

ВЕСТН. МОСК. УН-ТА. СЕР. 3. ФИЗИКА. АСТРОНОМИЯ, 1983, Т. 24, № 2

УДК 539.284

### ОБ ОДНОМ РЕЖИМЕ РАЗВИТИЯ КОЛЕБАНИЙ В СПИНОВОМ ГЕНЕРАТОРЕ

Л. С. Корниенко, А. Л. Коткин, Д. М. Литвак, Ю. В. Павлов,  
Р. М. Умарходжаев

(НИИЯФ)

В сообщении приводятся результаты теоретического и экспериментального изучения процесса установления колебаний в спиновом генераторе (СГ) в зависимости от величины коэффициента усиления в цепи обратной связи. Рассмотрены различия в переходных процессах различных типов генераторов с инерционной нелинейностью: СГ, твердотельных лазеров (ТТЛ) [1], генераторов с детектором [2].

Рассмотрение переходных процессов в спиновом генераторе проводится на примере генератора Шмельцера [3] с широкополосной цепью обратной связи, характеризуемой коэффициентом передачи  $Ke^{i\psi(\omega)}$ , где  $\psi(\omega)$  — фазовый сдвиг на частоте генерации. Рабочее вещество описывается уравнениями Блоха [4]. При регистрации поперечной компоненты  $M_y$  сигнала магнитного резонанса уравнения СГ для медленно меняющихся амплитуд в безразмерной форме имеют вид:

$$\begin{aligned} \dot{x} + x(1 - kz \cos \psi) &= 0, \\ \dot{z} + nz - n &= -kx^2 \cos \psi, \\ \dot{\psi} + \omega_0/\delta_2 + kz \sin \psi &= 0, \end{aligned} \quad (1)$$

где  $x$  и  $z$  — поперечная и продольная компоненты вектора намагниченности;  $n = T_2/T_1 = \delta_1/\delta_2 \ll 1$  — отношение поперечного и продольного времен релаксации;  $k = K\gamma M_0 T_2$  — приведенный коэффициент усиления цепи обратной связи;  $M_0$  — стационарная намагниченность;  $\psi$  — мгновенная частота генерации;  $\omega_0/\delta_2$  — безразмерная ларморова частота. Производные берутся по безразмерному времени  $\tau = t/T_2 = \delta_2 t$ .

Система уравнений (1) описывает также и спиновый генератор боковой полосы, работающий в режиме малых индексов модуляции [5], когда дополнительной нелинейностью в нем можно пренебречь.

Ограничение колебаний в этом случае в спиновом генераторе боковой полосы, как и в СГ, осуществляется за счет эффекта насыщения или, пользуясь радиотехнической терминологией [6], инерционной нелинейности, роль которой в СГ выполняет  $z$ -компонента вектора намагниченности [7]. Степень инерционности определяется временем релаксации  $T_1$ . При  $\psi=0$  система уравнений совпадает с известной из литературы [8].

Уравнения для ТТЛ — уравнения баланса [9] — для удобства сопоставления с (1) запишем в безразмерном виде:

$$\begin{aligned} \dot{y} + y(1 - \alpha z) &= 0, \\ \dot{z} + z\beta - \beta &= -\alpha z y, \end{aligned} \quad (2)$$

где  $y, z$  — интенсивность поля в резонаторе и разность населенностей соответственно;  $\alpha$  — равновесное значение разности населенностей;  $\beta = T_c/T_1 \ll 1$  — отношение времени затухания свободных колебаний в резонаторе ко времени релаксации разности населенностей.

Уравнения, описывающие генератор с квадратичным детектором [2], перепишем в безразмерной форме:

$$\begin{aligned} \dot{W} + (1/2)W(1 - k_1 z) &= 0, \\ \dot{z} + n_1 z - n_1 &= -(1/2)n_1 k_2 W^2, \end{aligned} \quad (3)$$

где  $n_1 = 1/(R/L)R_D C_D = T_c/T_D$  — отношение времени затухания свободных колебаний в контуре к постоянной детектора  $T_D = R_D C_D$ . Постоянные коэффициенты  $k_1 = S_0 \omega_0^2 M/(R/L)$  и  $k_2 = \alpha S_0 \omega_0^2 M/b$  определяются через параметры, введенные в [2].  $W$  — амплитуда напряжения на контуре,  $z$  — напряжение, снимаемое с детектора.

Системы уравнений (1)–(3) отличаются видом записи правых частей вторых уравнений. Причина различия записи в системах (1) и (2) указана в [9]. Наличие множителя  $n_1$  в правой части второго уравнения (3), отсутствующего в (1) и (2), связано со способом формирования напряжения  $z$ : оно снимается с интегрирующей цепочки детектора [2].

Изучению переходных процессов в СГ посвящены работы [10]. Из этих работ следует, что решение линеаризованной вблизи стационарного решения системы уравнений (1) описывается выражением вида  $e^{\lambda t}$ , где

$$\lambda = -\frac{1}{2}n \pm \sqrt{\frac{1}{4}n^2 - 2n(k \cos \psi - 1)}.$$

При  $1 < k \cos \psi \leq k_0 \cos \psi = (8+n)/8$  движение характеристик СГ к стационарным значениям:

$$z_c^2 = n(k \cos \psi - 1)/(k^2 \cos^2 \psi), \quad z_c = 1/(k \cos \psi)$$

носит аperiодический характер, а при  $k > k_0$  — колебательный характер. Если  $k < k_0$ , то величина  $z_c = 1/(k \cos \psi) > 8/(8+n)$  мало отличается от начального значения  $z \approx 1$ . При этом можно предположить, что скорость изменения величины  $z$  мала. Это позволяет в системе уравнений (1) пренебречь величиной  $\dot{z}$  по сравнению с величиной  $nz$  и заменить систему уравнений (1) уравнением Ван-дер-Поля, имеющим решение [11]

$$x = \left[ e^{-(k \cos \psi - 1)(\tau - \tau_0)} + \frac{k^2 \cos^2 \psi}{n(k \cos \psi - 1)} \right]^{-1/2}. \quad (4)$$

Численное решение (1) при  $k \cos \psi = 1,1$  и  $n=1$  совпадает с решением (4) с точностью до 2%.

Таким образом, при  $k < k_0$  (при малых уровнях колебаний) в СГ инерционными свойствами эффекта насыщения в веществе можно пренебречь [11], а величину  $z$  рассматривать как крутизну характеристики безынерционного нелинейного элемента, аппроксимируемого полиномом третьей степени.

При малых уровнях превышения накачки над порогом ( $\alpha \sim 1$ ) в ТТЛ [9], как и в СГ [11], процесс развития колебаний апериодический. Система уравнений (2) при  $\dot{z}=0$  и в пренебрежении членами  $(\alpha y/\beta)^2 \ll 1$  есть уравнение Ван-дер-Поля. Согласно [2] уравнением Ван-дер-Поля описываются и генератор с детектором, и генератор с термистором, когда последний по отношению к колебаниям ведет себя как безынерционный.

Если же  $k \gg k_0$ , значения  $\lambda$  — чисто мнимые величины:

$$|j\lambda| \approx |2nk \cos \psi| \approx 2k^2 x_c^2 \gg n, \quad (5)$$

и переходный процесс в СГ идет со скоростью, значительно превышающей величину  $nz$ . Если допустить, что условие (5) выполняется и для  $x \ll x_c$ , тогда, пренебрегая членом  $nz$ , систему уравнений (1) можно свести к уравнениям вида

$$\begin{aligned} \dot{x} + x(1 - k'z) &= 0^*, \\ \dot{z} + k'x^2 &= 0. \end{aligned} \quad (6)$$

Система (6) справедлива в течение времени  $\tau \ll n$ . Уравнение изоклин имеет вид  $z = 1/k' - x/\theta$ , где  $\theta = dz/dx$ .

Траектория на фазовой плоскости  $x, z$  — окружность с центром в точке  $(0; 1/k')$  (рис. 1, а).

Система уравнений (6) имеет аналитическое решение

$$\begin{aligned} x &= C_1 - \operatorname{sch}(C_0 - k'C_1\tau), \\ z &= 1/k' + C_1 \cdot \operatorname{th}(C_0 - k'C_1\tau), \end{aligned} \quad (7)$$

где  $C_1^2 = x_0^2 + \left(z_0 - \frac{1}{k'}\right)^2$ ,  $C_0 = \operatorname{arth} \frac{z_0 - 1/k'}{C_1}$ .

Легко показать, что спиновый генератор при  $n=0$  имеет единственное устойчивое состояние равновесия  $x=0$ ;

$$z = \frac{1}{k'} - \sqrt{x_0^2 + \left(z_0 - \frac{1}{k'}\right)^2}.$$

При переходе из начального неустойчивого состояния  $x_0, z_0$  к устойчивому генерируется пичок колебаний. Амплитуда пичка определяется начальными условиями  $(x_0, z_0)$  и величиной  $k'$ . К концу пичка генерации компонента  $z$  уменьшается и становится равной нулю при  $k'=2$  (см. рис. 1, а). При  $k' > 2$  в системе наблюдается частичная инверсия вектора намагниченности. Полная инверсия (изменение величины  $z$  от  $+1$  до  $-1$ ) имеет место при  $k' \rightarrow \infty$ . В приближении  $n=0$  вычислим величину  $\sigma = \int x dt$ . Эта величина оказывается равной  $\pi$  при любой величине  $k'$ .

Анализ показывает, что численное решение системы (1) совпадает с решением (7) с точностью до 5% (в пределах полуширины первого

\* Здесь и ниже введено обозначение  $k' = k \cos \psi$ .

пика генерации), если соотношение  $k'/n$  составляет 20—50. Такое совпадение решений позволяет утверждать, что реальный СГ при  $k'/n \sim 20-50$  во время длительности первого пика генерирует л-импульс. Движение реальной системы, например при  $k'=20$  и  $n=1$ , происходит согласно расчету по годографу, приведенному на рис. 1, б. Компонента  $z$  во время первого пика генерации ведет себя как инерционная нелинейность с бесконечным  $T_1$ . Отметим, что при  $T_1 \rightarrow \infty$  ( $n=0$ ) инерционная нелинейность продолжает ограничивать рост

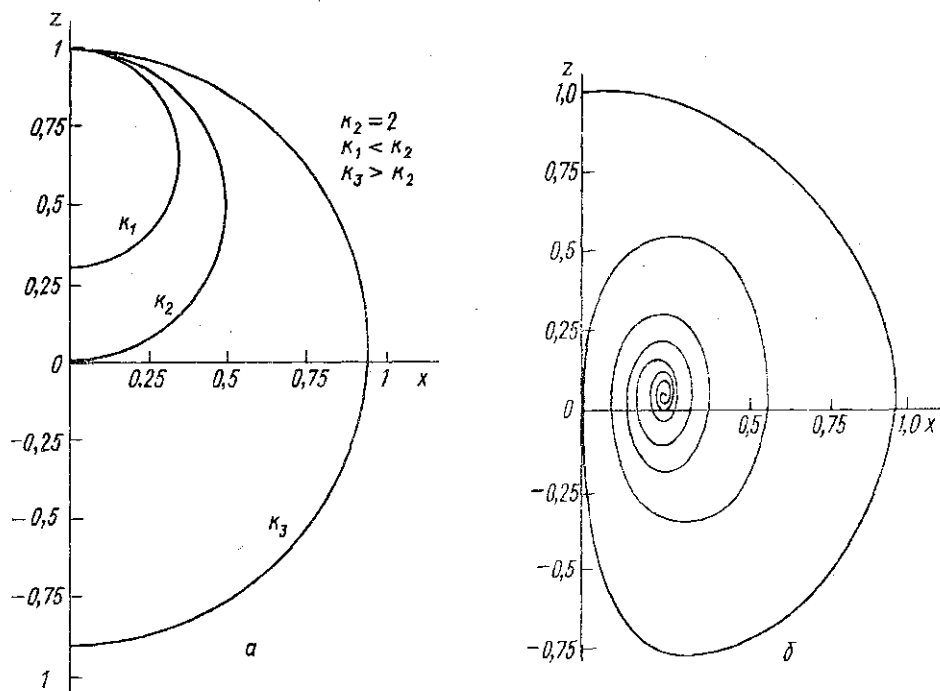


Рис. 1. Годограф движения вектора намагниченности при  $n=0$  и различных значениях коэффициента усиления  $k$ :  $k_2=2$ ,  $k_3 < k_2 < k_1$  (а) и при  $n=1$ ;  $k=20$  (б)

колебаний в спиновом генераторе, тогда как в генераторе с детектором, рассмотренном в работе [2], при постоянной времени детектора  $\tau=RC \rightarrow \infty$  действие инерционной нелинейности прекращается и амплитуда колебаний неограниченно растет согласно уравнениям (3), если не учитывать реально существующей безынерционной нелинейности [12].

После пика генерации, когда амплитуда генерации мала, в (1) можно пренебречь величиной  $x^2$ . Тогда из (1) имеем

$$\begin{aligned} x &= x_1 \exp[(k' - 1)\tau + (k'/n)(z_0 - 1)(1 - e^{-n\tau})], \\ z &= 1 + (z_1 - 1)e^{-n\tau}, \end{aligned} \quad (8)$$

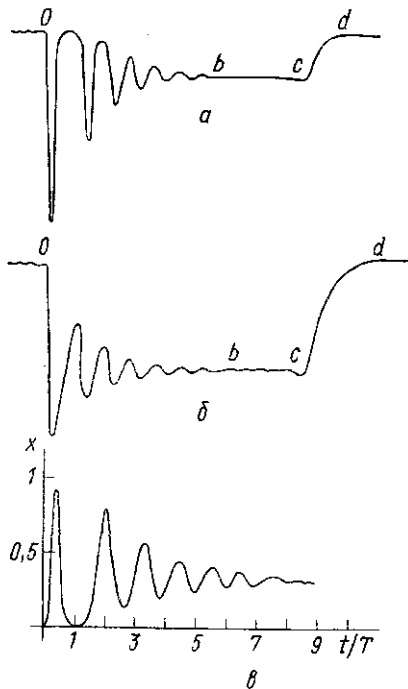
где  $x_1, z_1$  — значения  $x$  и  $z$  к концу первого пика генерации.

Как видно из (8), при сделанных предположениях происходит свободная релаксация  $z$ -компоненты вектора намагниченности. Граница, разделяющая инкрементную и декрементную области, определяется уравнением

$$z = 1/k'. \quad (9)$$

При переходе вектора намагниченности через границу (9)  $x$  достигает своего минимального значения  $x_{\min}$ , с которого начинается развитие генерации в последующем пичке. Сравнение переходных процессов, полученных экспериментально при  $k'=20$  и  $n=1$  (рис. 2, а, б) и численным расчетом (рис. 2, в) показало, что в эксперименте интервал между первым и вторым пичками генерации короче, а общее время выхода на стационарный режим меньше расчетного. Эти различия могут быть объяснены наличием шума в цепи обратной связи. Между пичками генерации, когда амплитуда колебаний падает до минимального значения, амплитуда шумового воздействия может быть порядка и больше  $x_{\min}$ . Это существенно меняет начальные условия для развития генерации в последующем пи-

Рис. 2. Изменение во времени поперечной  $x$ -компоненты намагниченности (а). Изменение во времени продольной  $z$ -компоненты. На участке  $Ob$  — пичковый режим установления генерации; на участке  $bc$  — стационарная генерация;  $c$  — момент выключения обратной связи; на участке  $cd$  — экспоненциальное затухание колебаний в СГ с разомкнутой цепью обратной связи (б). Расчетная кривая изменения во времени поперечной  $x$ -компоненты намагниченности (в)



чке, так как в этом случае они определяются величиной  $x_n = x_{\min} + x_{\text{ш}}$ . Численный расчет и годограф движения системы показывают, что чем меньше  $x_n$ , тем больше время, необходимое для развития пичка генерации, и тем больше его амплитуда.

Для выяснения влияния шума на процесс установления генерации в СГ были проведены численные решения следующих уравнений:

$$\begin{aligned} \dot{x} + x(1 - k'z) &= Fz \cos(\varphi - \varphi_{\text{ш}}), \\ \dot{z} + nz + k'x^2 &= n - Fx \cos(\varphi - \varphi_{\text{ш}}), \\ x\dot{\varphi} &= Fz \sin(\varphi - \varphi_{\text{ш}}), \end{aligned} \quad (10)$$

где  $F$  и  $\varphi_{\text{ш}}$  — амплитуда и фаза узкополосного шума. Эксперименты с введением дополнительного шумового сигнала в цепь обратной связи СГ показали в соответствии с решением уравнений (10) тенденцию к уменьшению времени переходного процесса и к сокращению интервала между пичками генерации.

Отметим, что при наличии шумового воздействия с амплитудой  $x_{\text{ш}} \gg x_{\min}$  фазы колебаний в первом и последующих пичках генерации не связаны между собой.

Для сравнения начального этапа переходных процессов в СГ (при  $k' \gg 1$ ) и в ТТЛ обратимся к работе, посвященной лазерам с мгновенным включением добротности [13]. Случай развития генерации с мгно-

\* Величина  $x_{\min}$  получена численно и имеет следующие значения при  $n=1$ :  $k'=20$ ;  $x_{\min}=10^{-2}$ ;  $k'=100$ ;  $x_{\min}=10^{-18}$ .

венным включением добротности в ТТЛ соответствует рассмотренному выше случаю переходных процессов, развивающихся с СГ после замыкания цепи обратной связи. Так как время развития гигантского импульса в ТТЛ мало по сравнению с  $T_1$ , то система уравнений (2) переходит в систему [13]:

$$\begin{aligned} \dot{y} + y(1 - \alpha z) &= 0, \\ \dot{z} + \alpha y &= 0. \end{aligned}$$

Уравнение изоклин имеет теперь вид  $z = \theta / [\alpha(1 + \theta)]$ , а фазовая траектория дается выражением  $e^{z+y} = zC_2$ , где  $C_2$  — постоянная интегрирования. Для сравнения с фазовыми траекториями СГ на рис. 3 приведены две фазовые траектории ТТЛ для значений  $\alpha = 2$  и 30.

Форма импульса излучения  $x(\tau)$  получена численным расчетом [14]. В отличие от СГ форма импульса в ТТЛ зависит от величины  $\alpha$ . С ростом  $\alpha$  кривая  $x(\tau)$  становится несимметричной относительно вертикали, проходящей через вершину импульса. Более существенно различие в поведении  $z$ -компонент в ТТЛ и в СГ. В отличие от СГ в ТТЛ ве-

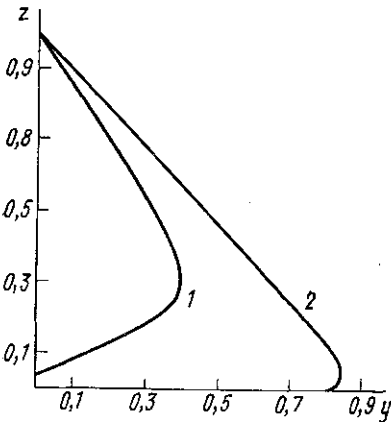


Рис. 3. Годограф движения вектора поляризации при значениях  $\alpha = 2$  (1) и 30 (2)

личина  $z$  никогда не меняет знака. Иначе говоря, в процессе генерации гигантского импульса в ТТЛ происходит лишь сброс разности населенностей, тогда как в СГ возможна даже полная инверсия разности населенностей.

**Приложение.** Если в цепь обратной связи СГ ввести колебательный контур, то легко показать, что уравнения движения СГ — это уравнения для квадратичных величин. Возможность изменения параметров СГ в широком диапазоне и, в частности, реализации больших величин коэффициента усиления  $k'$  делают СГ удобной моделью для изучения генераторов, описываемых уравнениями для квадратичных величин.

Так, например, если в молекулярном генераторе из-за малой плотности потока активных частиц не удастся осуществить экспериментально нестационарную генерацию [9], то в СГ, в силу выполнения условия  $k' > (1/2)(T_1/T_c)$  [9], она легко наблюдается. Здесь  $T_c$  — время затухания свободных колебаний в контуре, находящемся в цепи обратной связи СГ. В нашем случае  $1/T_c = \delta_c = 10^3 \delta_1 = 10^3/T_1$  (т. е.  $T_c = 10^{-3} \cdot T_1$ ) и  $T_1 = T_2$ .

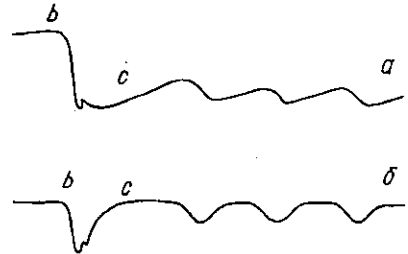


Рис. 4. Изменение во времени продольной (а) и поперечной (б) компонент вектора намагниченности в режиме нестационарной генерации;  $b$  — момент замыкания цепи обратной связи. Отличие формы первого пика нестационарной генерации от последующих — проявление переходных процессов

На рис. 4 показан пример записи нестационарной генерации в СГ, возникающей при замыкании цепи обратной связи. Экспериментальное изучение процессов установления стационарного режима генерации и динамической неустойчивости проводилось на СГ с оптической накачкой, работающем на изотопе ртути  $^{199}\text{Hg}$  с регистрацией поперечного сигнала по эффекту Фарадея [15]. Поскольку спин ядра изотопа  $^{199}\text{Hg}$  равен  $1/2$ , то в соответствии с [16] движение оптически ориентированных ядер атомов ртути описывается уравнениями Блоха, используемыми выше для описания СГ. Наблюдение продольной компоненты намагниченности проводилось с помощью фотоприемника, регистрирующего луч накачки.

#### СПИСОК ЛИТЕРАТУРЫ

- [1] Dunsmuir R. J. Electron. and Control, 1961, 10, N 6, p. 453. [2] Ланда П. С. Автоколебания в системах с конечным числом степеней свободы. М.: Наука, 1980. [3] Леше А. Ядерная индукция. М.: ИЛ, 1963. [4] Абрагам А. Ядерный магнетизм. М.: ИЛ, 1963. [5] Умарходжаев Р. М. Изв. вузов. Сер. Радиофизика, 1971, 14, № 8, с. 1189. [6] Теодорчик К. Ф. Автоколебательные системы. М.: Гостехиздат, 1952. [7] Умарходжаев Р. М. Изв. вузов. Сер. Радиофизика, 1964, 7, с. 1207. [8] Померанцев Н. М., Рыжков В. М., Скромцкий Г. В. Физические основы квантовой магнитометрии. М.: Наука, 1972. [9] Ханин Я. И. Квантовая радиофизика. М.: Сов. радио, 1975, т. 2. [10] Кузнецов П. И., Малыгин Л. И. Электричество, 1967, 7, с. 82; Куммер F., Retzlaff G. Zs. Angew. Phys., 1969, 27, N 6, p. 371. [11] Морозов А. А., Москалев В. В. В кн.: Ядерный магнитный резонанс. Л.: Изд-во ЛГУ, 1968, ч. II, с. 48. [12] Капцов Л. Н. Радиотехн. и электроника, 1975, 20, № 12, с. 2496. [13] Прохоров А. М. Радиотехн. и электроника, 1963, 8, № 6, с. 1073. [14] Wagner W. G., Lenguel B. A. J. Appl. Phys., 1963, 34, N 7, p. 2040. [15] Manuel J., Cohen-Tannoudji Cl. Compt. Rend., 1963, B-257, p. 413. [16] Cohen-Tannoudji Cl. Ann. de Phys., 1962, 7, p. 423—460; 471—503.

Поступила в редакцию  
22.02.82

ВЕСТН. МОСК. УН-ТА. СЕР. 3. ФИЗИКА. АСТРОНОМИЯ, 1983, Т. 24, № 2

УДК 532.517.4.627.157

#### АНАЛИЗ СТАТИСТИЧЕСКОЙ ОБРАБОТКИ СЛУЧАЙНОГО ПРОЦЕССА НА ПРИМЕРЕ ПУЛЬСАЦИЙ СКОРОСТИ РУСЛОВОГО ПОТОКА

В. П. Петров, О. П. Петросян, И. П. Харченко

(кафедра физики моря и вод суши)

Для статистического анализа пульсаций скорости руслового потока обычно определяют следующие параметры: математическое ожидание, дисперсию, среднеквадратичное отклонение, коэффициент асимметрии, эксцесс, корреляционные и спектральные функции.

Выражения для корреляционных и спектральных функций для практических расчетов на ЭВМ приводились соответственно к виду

$$R(\tau_m) = \frac{1}{D_u} \frac{1}{N-m} \sum_{i=1}^{N-m} [u(t_i) - m_u] [u(t_i + \tau_m) - m_u],$$

$$S(f_i) = 2\Delta t \left[ R_0 + 2 \sum_{k=1}^{M-1} \omega_k(\tau) R(\tau) \cos \frac{\pi k i}{F} \right],$$

где  $D_u$  — дисперсия,  $m_u$  — математическое ожидание,  $\tau_m = m\Delta t$ ,  $m = 0, 1, 2, \dots, M-1$ ,  $M$  — точка отсечения корреляционной кривой, о ко-